



Technical University of Cluj - Napoca  
Computer Science Department

# Procesarea Imaginilor

(An 3, semesterul 2)

**Curs 3: Imagini binare. Proprietati geometrice simple.**

# Procesarea imaginilor binare

## Introducere

- Imaginea binară este imaginea cea mai simplă, care este folosită într-o gamă largă de aplicații industriale și medicale (imagine alb-negru, imagine siluetă).

## Avantaje

- Simplu de generat: prin camere digitale simple, sau prin aplicarea binarizării pe imagini de intensitate (grayscale).
- Necesită memorie puțină: 1 bit per pixel, sau mai puțin, dacă aplicăm și compresie (de exemplu run length encoding – RLE).
- Procesare simplă și rapidă: algoritmi sunt mult mai simpli decât cei aplicați pe imaginile grayscale.

## Dezavantaje

- Aplicabilitate limitată, restricționată la cazurile în care detaliul intern nu este necesar ca o trăsătură definitorie.
- Nu poate sugera natura tridimensională a obiectelor.
- Este necesară o iluminare specială pentru a obține imagini siluetă corecte fără a impune restricții asupra mediului.

# Procesarea imaginilor binare

## Binarizarea

- În cel mai simplu caz, o imagine conține un singur obiect sau mai multe obiecte individuale, vizualizate pe un fundal de intensitate diferită de cea a obiectelor. În acest caz, separația dintre obiecte și fundal se poate realiza prin binarizare.



- Scopul binarizării este segmentarea unei imagini în regiuni de interes, și eliminarea regiunilor considerate neesențiale. Cea mai simplă binarizare va folosi un singur prag pentru a izola obiectele de interes. În alte cazuri, un singur prag nu este suficient pentru segmentarea întregii imagini. În aceste cazuri, se folosesc praguri variabile, sau multiple, bazate pe măsuri statistice.

# Procesarea imaginilor binare

**Binarizarea** – identificarea regiunilor care conțin obiecte de interes

**Segmentarea** – partiționarea imaginii în regiuni

$$f(i,j) \rightarrow P_1, P_2, \dots, P_k$$

Def. 1.1. O regiune este o sub-mulțime a imaginii.

Def. 1.2. Segmentarea este gruparea pixelilor în regiuni, astfel încât

$$\bigcup_{i=1}^k P_i = \text{întreaga imagine (partiționare exhaustivă), și}$$

$$P_i \cap P_j = \emptyset \text{ if } i \neq j \text{ (partiționare exclusivă)}$$

- Fiecare regiune  $P_i$  satisface un predicat, deci toate punctele unei regiuni au o proprietate comună.
- Pixelii regiunilor adiacente, când sunt luați împreună, nu satisfac acest predicat.

# Strategii de selecție a pragului

## Tipuri de binarizare

- Binarizare globală
- Semi-binarizare
- Binarizare cu prag variabil

## Selecția pragului

- Selecția folosind media și deviația standard
- Selecția folosind maximizarea varianței dintre clase (metoda Otsu)
- Selecția folosind cea mai bună aproximare a imaginii de intensitate (graylevel) cu o imagine cu două nivele

# Binarizare globală

$f(x,y)$  este imaginea sursă, iar  $b(x,y)$  este imaginea binară rezultată.

$$b(x, y) = f_T(x, y)$$

$$f_T(x, y) = \begin{cases} 1 & f(x, y) \leq T \\ 0 & \text{otherwise} \end{cases}$$

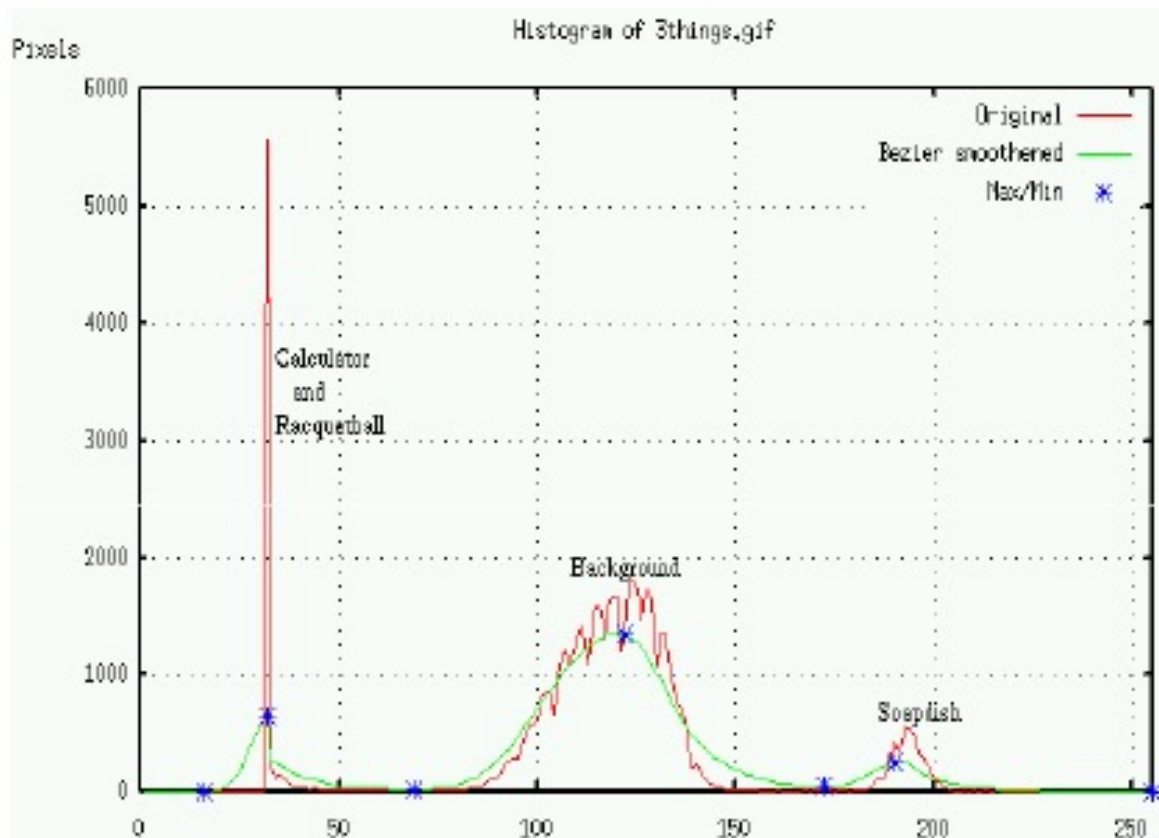
$$\text{Object} \in [T_1, T_2]$$

$$f_T(x, y) = \begin{cases} 1 & T_1 \leq f(x, y) \leq T_2 \\ 0 & \text{otherwise} \end{cases}$$

$$\text{Obiect} \in Z$$

Unde  $Z$  este o mulțime de valori de intensitate

$$f_T(x, y) = \begin{cases} 1 & f(x, y) \in Z \\ 0 & \text{otherwise} \end{cases}$$



Analiza histogramei

## Semi-binarizare

- Pixelii a căror intensitate este într-un anumit interval dat de praguri își rețin valoarea originală, iar ceilalți primesc valoarea zero.

$$b(x, y) = \begin{cases} f(x, y) & \text{if } h \leq f(x, y) \leq k \\ 0 & \text{otherwise} \end{cases}$$

- Pixelii de intensitate mare se pot reține astfel:

$$b(x, y) = \begin{cases} f(x, y) & \text{if } f(x, y) \geq k \\ 0 & \text{otherwise} \end{cases}$$

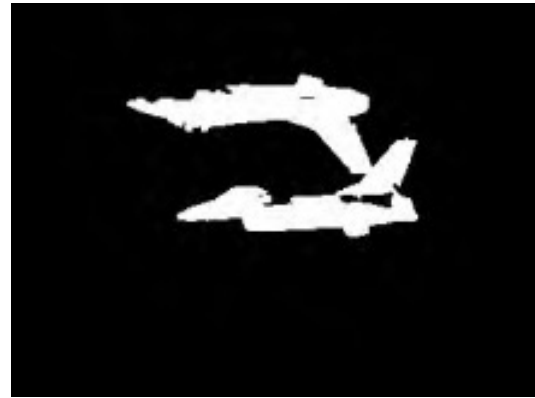
- Pixelii de intensitate mică se pot reține astfel:

$$b(x, y) = \begin{cases} f(x, y) & \text{if } f(x, y) \leq k \\ 255 & \text{otherwise} \end{cases}$$

# Exemplu



Imagine originală



Binarizare globală



Semi-binarizare



## Binarizarea variabilă

- Binarizarea variabilă permite ca mai multe nivele prag să fie aplicate pe diferite regiuni ale imaginii.
- Dacă  $f(x,y)$  este imaginea sursă, notăm cu  $d(x,y)$  valoarea prag asociată cu fiecare punct din imagine.
- Imaginea rezultat  $b(x,y)$  este definită ca:

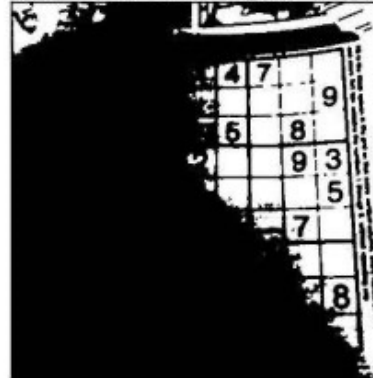
$$b(x, y) = \begin{cases} 1 & \text{if } f(x, y) \geq d(x, y) \\ 0 & \text{if } f(x, y) < d(x, y) \end{cases}$$

# Binarizarea variabilă

Original Image



Global Thresholding ( $v = 127$ )



Adaptive Mean Thresholding



Adaptive Gaussian Thresholding



[https://docs.opencv.org/3.4/d7/d4d/tutorial\\_py\\_thresholding.html](https://docs.opencv.org/3.4/d7/d4d/tutorial_py_thresholding.html)

# Selecția pragului folosind media și deviația standard

- Media valorilor unei imagini  $f(x,y)$  este:

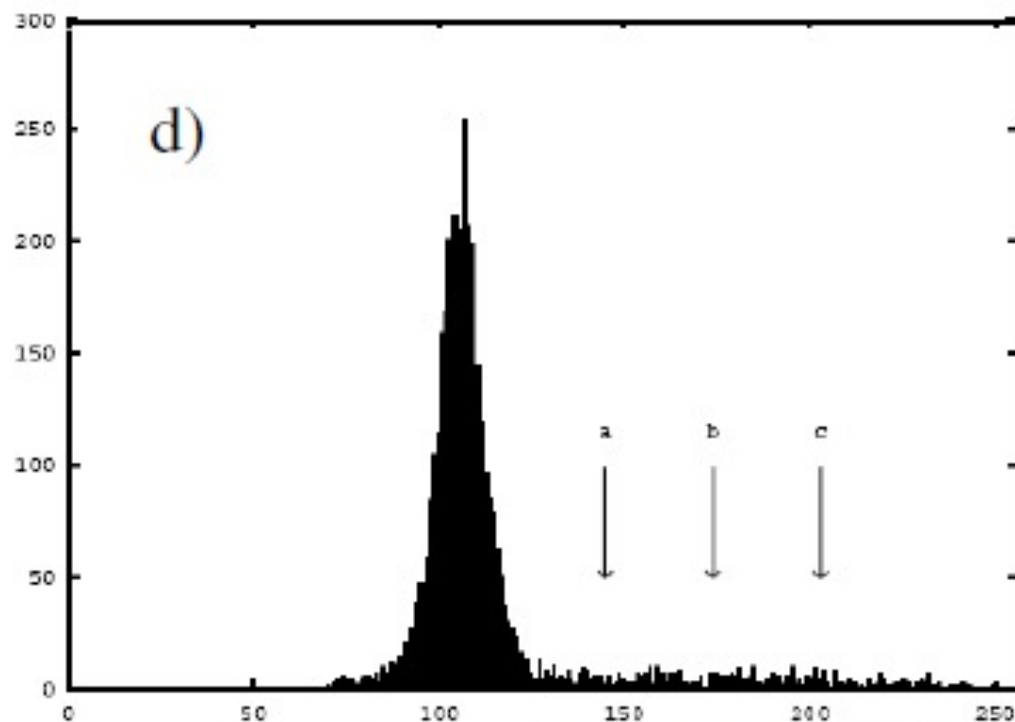
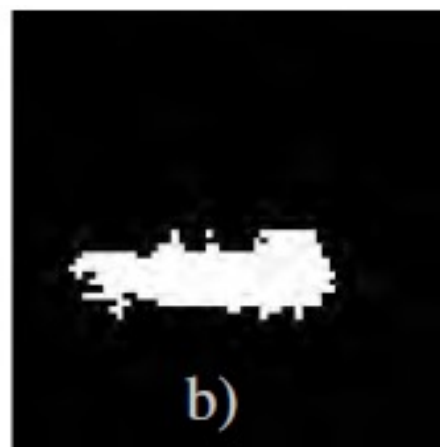
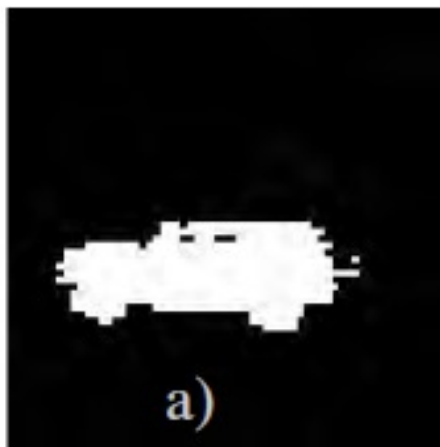
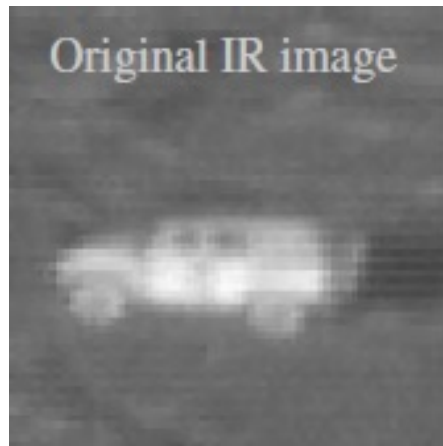
$$\mu = \frac{1}{mn} \sum_{i=1}^m \sum_{j=1}^n f(i, j)$$

- Deviația standard a valorilor imaginii  $f(x,y)$  este

$$\sigma = \sqrt{\frac{1}{mn} \sum_{i=1}^m \sum_{j=1}^n [f(i, j) - \mu]^2}$$

- Nivelul pragului,  $T$ , este  **$T = k_1\mu + k_2\sigma$**  unde  $k_1$  și  $k_2$  sunt dependente de tipul imaginii.

## Exemplu



- a)  $k_1=k_2=1, T=145$
- b)  $k_1=1, k_2=2, T=174$
- c)  $k_1=1.5, k_2=1, T=203$

Histograma imaginii  
originale, si nivelul  
pragurilor

# Proprietăți geometrice simple ale imaginilor binare

Aria

$$A = \iint_I b(x, y) dx dy$$

$$A = \sum_{i=1}^n \sum_{j=1}^m b(i, j)$$

Poziția

- Practica uzuală este alegerea centrului ariei. Centrul ariei este centrul de masă al unei figuri cu aceeași formă, și cu masă constantă pe unitate de arie.
- Centrul de masă al unui obiect este punctul în care întreaga masă a obiectului poate fi concentrată fără a schimba momentul de ordinul 1 al obiectului raportat la orice axă de coordonate.

$$\begin{aligned} \bar{x} \iint_I b(x, y) dx dy &= \iint_I x b(x, y) dx dy & \bar{i} \sum_{i=1}^n \sum_{j=1}^m b(i, j) &= \sum_{i=1}^n \sum_{j=1}^m i b(i, j) \\ \bar{y} \iint_I b(x, y) dx dy &= \iint_I y b(x, y) dx dy & \bar{j} \sum_{i=1}^n \sum_{j=1}^m b(i, j) &= \sum_{i=1}^n \sum_{j=1}^m j b(i, j) \end{aligned}$$

# Proprietăți geometrice simple ale imaginilor binare

## Poziția

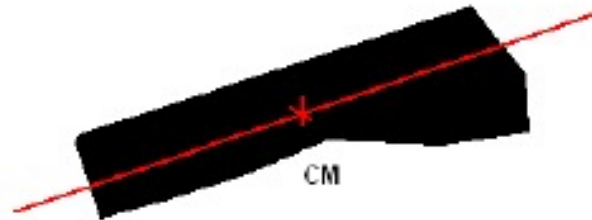
- $(\bar{x}, \bar{y})$  și  $(\bar{i}, \bar{j})$  reprezintă poziția centrului ariei.

$$\bar{i} = \frac{\sum_{i=1}^n \sum_{j=1}^m i b(i,j)}{A}$$

$$\bar{j} = \frac{\sum_{i=1}^n \sum_{j=1}^m j b(i,j)}{A}$$

## Orientarea

- Dacă presupunem că obiectul este alungit, orientarea acestuia se poate defini printr-o axă de alungire. Axa de alungire este echivalentă cu axa momentului de ordin 2, și ne dă dreapta față de care integrala pătratelor distanțelor punctelor obiectului binar este minimă.



# Proprietăți geometrice simple ale imaginilor binare

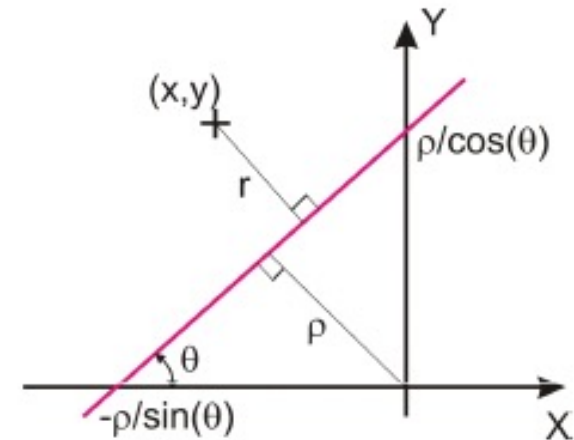
## Orientarea

- Axa de inerție minimă, ce va minimiza  $E = \iint_I r^2 b(x, y) dx dy$  unde  $r$  este distanța de la un punct  $(x, y)$  la dreaptă.

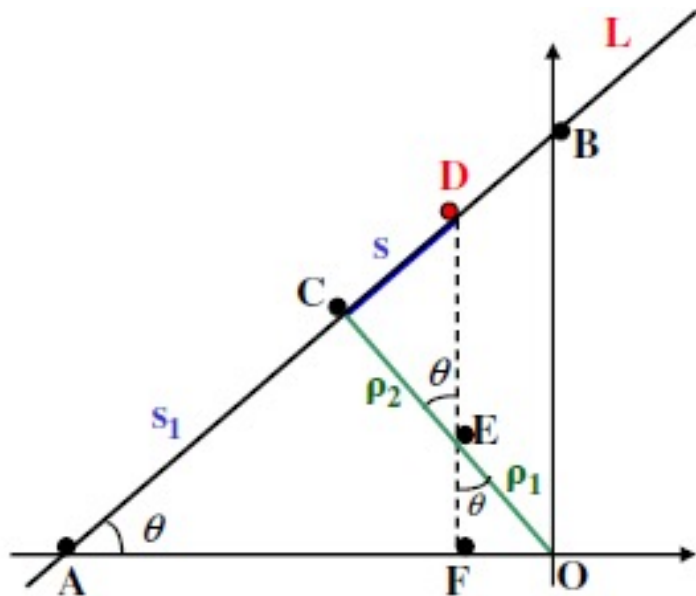
Pentru a găsi o dreaptă în plan, avem nevoie de doi parametri. O pereche convenabilă este distanța față de origine,  $\rho$ , și unghiul de orientare  $\theta$  față de axa  $x$ . Ecuația dreptei este

$$x \sin\theta - y \cos\theta + \rho = 0$$

Dacă se dă un punct  $(x, y)$  de pe un obiect binar, trebuie găsit cel mai apropiat punct de pe dreaptă,  $(x_0, y_0)$ , pentru a putea calcula distanța  $r$ .



# Proprietăți geometrice simple ale imaginilor binare



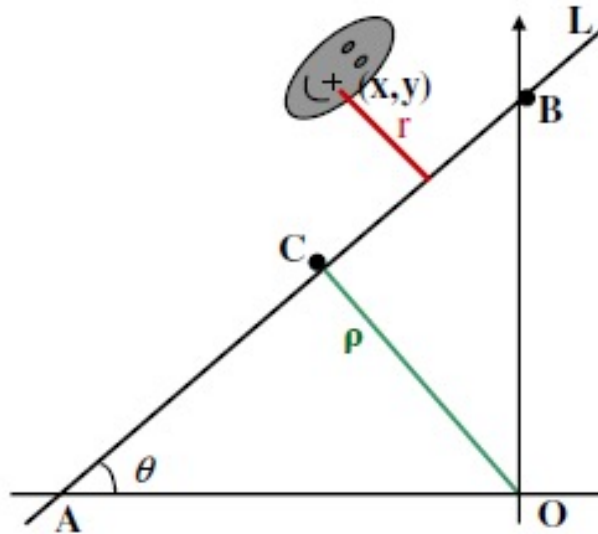
- $\rho = \rho_1 + \rho_2$
- $C(x_c, y_c)$  este punctul de pe dreaptă cel mai apropiat de origine, unde  $x_c = -\rho \sin \theta$  ;  $y_c = \rho \cos \theta$
- Se va scrie ecuația parametrică a punctelor de pe linie,  $(x_0, y_0)$ .
- Considerăm distanța  $s$  de-a lungul dreptei față de punctul cel mai apropiat de origine, ca parametru.

$$\left. \begin{array}{l} \Delta FEO: \sin \theta = \frac{FO}{EO} = \frac{FO}{\rho_1} \Rightarrow FO = \rho_1 \cdot \sin \theta = (\rho - \rho_2) \cdot \sin \theta \\ \Delta ECD: \frac{\sin \theta}{\cos \theta} = \frac{CD}{CE} = \frac{s}{\rho_2} \Rightarrow \rho_2 = \frac{s \cos \theta}{\sin \theta} \end{array} \right\} x_0 = -\rho \sin \theta + s \cos \theta$$

$$\left. \begin{array}{l} \Delta AFD: \sin \theta = \frac{FD}{AD} = \frac{FD}{s + s_1} \Rightarrow FD = (s + s_1) \cdot \sin \theta \\ \Delta AOC: \frac{\sin \theta}{\cos \theta} = \frac{CO}{AC} = \frac{\rho}{s_1} \Rightarrow s_1 = \frac{\rho \cos \theta}{\sin \theta} \end{array} \right\} y_0 = \rho \cos \theta + s \sin \theta$$



# Proprietăți geometrice simple ale imaginilor binare



- Dându-se un punct  $(x, y)$  pe obiect, se va găsi punctul cel mai apropiat  $(x_0, y_0)$  pe linia  $L$  astfel încât să putem calcula distanța punctului  $(x, y)$  față de linie.

$$r^2 = (x - x_0)^2 + (y - y_0)^2$$

- Se folosesc ecuațiile parametrice ale lui  $x_0$  și  $y_0$ :

$$r^2 = (x^2 + y^2) + \rho^2 + 2\rho(x \sin \theta - y \cos \theta) - 2s(x \cos \theta + y \sin \theta) + s^2$$

- Se derivează în raport cu  $s$ , și se pune condiția ca derivata să fie zero:  $s = x \cos \theta + y \sin \theta$

- Acest rezultat se substituie în ecuațiile parametrice pentru  $x_0$  și  $y_0$ :

$$\left. \begin{array}{l} x - x_0 = +\sin \theta (x \sin \theta - y \cos \theta + \rho) \\ y - y_0 = -\cos \theta (x \sin \theta - y \cos \theta + \rho) \end{array} \right\} \Longrightarrow r^2 = (x \sin \theta - y \cos \theta + \rho)^2$$

# Proprietăți geometrice simple ale imaginilor binare

- Ecuatia inerției devine:

$$E = \iint_I r^2 b(x, y) dx dy = \iint_I (x \sin \theta - y \cos \theta + \rho)^2 b(x, y) dx dy$$

- Derivând față de  $\rho$  și punând condiția ca rezultatul să fie zero se obține:

$$E'_\rho(r, \rho) = 0$$

$$\begin{aligned} E'_\rho &= \iint 2(x \sin \theta - y \cos \theta + \rho) b(x, y) dx dy = \\ &= 2 \sin \theta \iint x b(x, y) dx dy - 2 \cos \theta \iint y b(x, y) dx dy + \rho \iint b(x, y) dx dy \end{aligned}$$

$$E'_\rho = 2A(\bar{x} \sin \theta - \bar{y} \cos \theta + \rho) = 0$$

- Astfel, axa de inerție trece prin centrul de masă al obiectului. Centrând coordonatele,  $x' = x - \bar{x}$  și  $y' = y - \bar{y}$  ecuația dreptei se transformă:

$$x \sin \theta - y \cos \theta + \rho = x' \sin \theta - y' \cos \theta$$

$$E = a \sin^2 \theta - b \sin \theta \cos \theta + c \cos^2 \theta \quad a = \iint_I (x')^2 b(x, y) dx' dy'$$

- a, b, c sunt momentele de ordinul 2:

$$b = 2 \iint_I (x' y') b(x, y) dx' dy'$$

$$c = \iint_I (y')^2 b(x, y) dx' dy'$$

# Proprietăți geometrice simple ale imaginilor binare

- Ecuția inerției  $E$  se poate rescrie sub forma:

$$E = \frac{1}{2}(a + c) - \frac{1}{2}(a - c) \cos 2\theta - \frac{1}{2}b \sin 2\theta$$

- Derivând față de  $\theta$  și punând condiția ca rezultatul să fie zero, obținem:

$$E_{\theta}' = (a - c) \sin 2\theta - b \cos 2\theta = 0$$

- De unde

$$\tan 2\theta = \frac{b}{a - c}$$

- În consecință,

$$\sin 2\theta = \pm \frac{b}{\sqrt{b^2 + (a - c)^2}} \quad \cos 2\theta = \pm \frac{a - c}{\sqrt{b^2 + (a - c)^2}}$$

- Din soluțiile posibile, cea cu semnul plus pentru sin și cos corespunde minimului inerției, iar cealaltă soluție corespunde maximului inerției.

# Momente

- Momentele: inițiale (sau pur și simplu momente), sau centrate. Sunt valori care caracterizează distribuția statistică a unor variabile aleatoare.
- În procesarea de imagini ne interesează momentele definite pentru două variabile (pe  $\mathbb{R}^2$ )
- Momente inițiale de ordin  $p, q$ :

$$m_{p,q} = \sum_{x,y} I(x,y) x^p y^q$$

- Aria este moment inițial de ordin 0:

$$A = m_{0,0} = \sum_{x,y} I(x,y)$$

- Centrul de masă poate fi definit prin momente de ordin 1 și 0:

$$\bar{x} = \frac{1}{A} \sum_{x,y} I(x,y) x = \frac{m_{1,0}}{m_{0,0}} \quad \bar{y} = \frac{1}{A} \sum_{x,y} I(x,y) y = \frac{m_{0,1}}{m_{0,0}}$$

# Momente

- Momente centrate: sunt calculate pe baza diferențelor față de centrul de masă.
- Momente centrate de ordin p,q:

$$\mu_{p,q} = \sum_{x,y} I(x,y)(x - \bar{x})^p (y - \bar{y})^q$$

- Unghiul axei de alungire exprimat prin momente centrate:

$$\tan 2\theta = \frac{b}{a - c}$$

$$a = \iint_{I'} (x')^2 b(x,y) dx' dy'$$

$$a = \mu_{2,0}$$

$$b = 2 \iint_{I'} (x' y') b(x,y) dx' dy'$$

$$b = 2\mu_{1,1}$$

$$c = \iint_{I'} (y')^2 b(x,y) dx' dy'$$

$$c = \mu_{0,2}$$

$$\tan(2\theta) = \frac{2\mu_{1,1}}{\mu_{2,0} - \mu_{0,2}}$$

# Momente

- Excentricitatea: exprimă gradul de alungire al unei elipse.
- Se poate potrivi o elipsă oricărui obiect:

$$a_1 = \mu_{2,0} + \mu_{0,2} + \sqrt{(\mu_{2,0} - \mu_{0,2})^2 + 4\mu_{1,1}^2}$$

$$a_2 = \mu_{2,0} + \mu_{0,2} - \sqrt{(\mu_{2,0} - \mu_{0,2})^2 + 4\mu_{1,1}^2}$$

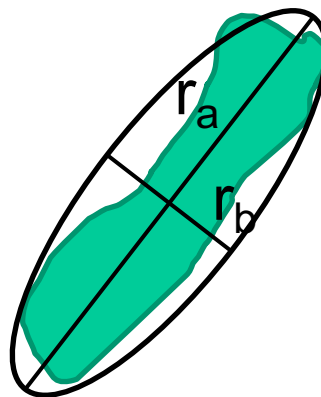
- Dimensiunea axelor:

$$r_a = \sqrt{\frac{2a_1}{A}}$$

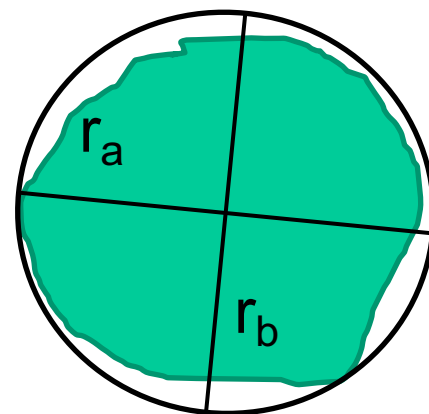
$$r_b = \sqrt{\frac{2a_2}{A}}$$

- Excentricitatea:

$$e = \sqrt{1 - \frac{r_b^2}{r_a^2}}$$



Excentricitate mare



Excentricitate mică

# Proiecțiile

- Integrala lui  $b(x,y)$  de-a lungul unei drepte  $L$  dă valoarea proiecției:

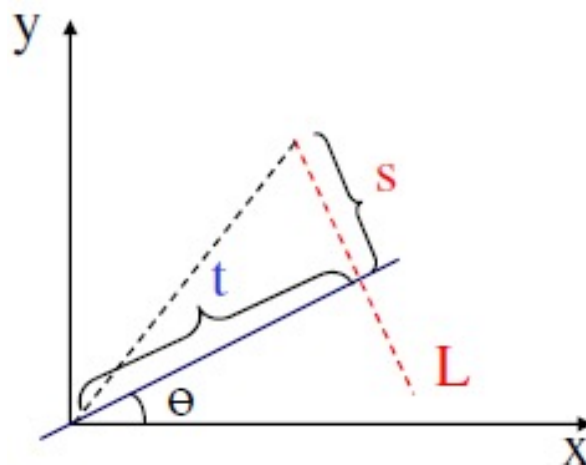
$$p_{\theta}(t) = \int b(t\cos\theta - s\sin\theta, t\sin\theta + s\cos\theta) ds$$

- Proiecția verticală:  $\Theta = 0$

$$v(x) = \int b(x, y) dy$$

- Proiecția orizontală:  $\Theta = \pi/2$

$$h(y) = \int b(x, y) dx$$



# Calculul proprietăților geometrice folosind proiecțiile

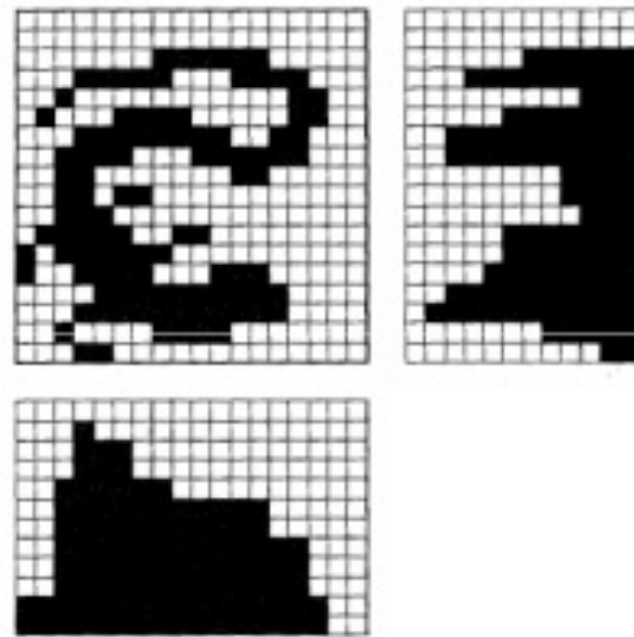
- Aria:

$$A = \iint b(x, y) dx dy \quad A = \int v(x) dx = \int h(y) dy$$

- Coordonatele centrului de masă

$$\bar{x}A = \iint x b(x, y) dx dy = \int x v(x) dx$$

$$\bar{y}A = \iint y b(x, y) dx dy = \int y h(y) dy$$



- Momentele de ordinul 1 ale proiecțiilor sunt egale cu momentele de ordinul 1 ale imaginii originale



## Calculul proprietăților geometrice folosind proiecțiile

- Orientarea – pentru aceasta avem nevoie și de momentele de ordinul 2. Două din acestea sunt ușor de calculat din proiecții:

$$\iint x^2 b(x, y) dx dy = \int x^2 v(x) dx \quad \iint y^2 b(x, y) dx dy = \int y^2 h(y) dy$$

- Pentru integrala produselor  $xy$  avem nevoie și de proiecția diagonală,

$\Theta = \pi/4 :$

$$d(t) = \int b\left(\frac{1}{\sqrt{2}}(t-s), \frac{1}{\sqrt{2}}(t+s)\right) ds$$

- Se poate calcula:

$$\iint xy b(x, y) dx dy = \int t^2 d(t) dt - \frac{1}{2} \int x^2 v(x) dx - \frac{1}{2} \int y^2 h(y) dy$$

# Run-Length Coding

- Această metodă exploatează faptul că de-a lungul unei linii din imagine există lungi șiruri de valori identice de zero sau 1:
- Aceste șiruri (“runs”) se pot reprezenta într-o manieră mai compactă:
  - Poziția de început și lungimea șirurilor de “1” pentru fiecare rând, sau
  - Lungimea șirurilor, începând cu șirul de lungime zero

1	1	1	0	0	0	1	1	0	0	0	1	1	1	1	0	1	1	0	1	1	1
0	0	0	0	1	1	1	1	1	1	1	1	1	1	1	1	1	0	1	1	1	1
1	1	1	0	0	0	0	0	0	0	0	0	0	0	0	0	1	1	1	1	1	1

- Reprezentarea RLE cu varianta 1: (1,3) (7,2) (12,4) (17,2) (20,3)  
(5,13) (19,4)  
(1,3) (17,6)
- Reprezentarea RLE cu varianta 2: 0,3,3,2,3,4,1,2,1,3  
4,13,1,4  
0,3,13,6

## Proprietăți geometrice calculate din RLE

- Folosim notația  $r_{ik}$  pentru șirul  $k$  din linia  $i$ , și considerăm că primul șir de pe fiecare linie din imagine este un șir de zero (deci toate șirurile pare vor fi șiruri de 1). Notăm cu  $m_i$  numărul de șiruri de pe linia  $i$ .

Aria:

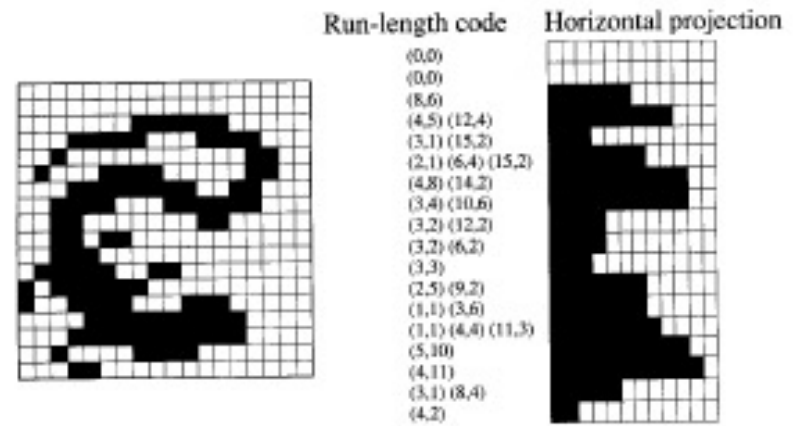
$$A = \sum_{i=1}^n \sum_{k=1}^{m_i/2} r_{i,2k}$$

- Poziția centrului de masă
  - Se obține proiecția orizontală:

$$h_i = \sum_{k=1}^{m_i/2} r_{i,2k}$$

- Poziția verticală a centrului de masă este:

$$\bar{i}A = \sum_{i=1}^n ih_i$$



## Alte proprietăți geometrice

- Perimetrul  $P$  – numărul punctelor obiect care sunt vecini cu puncte de tip fundal.

- Circularitatea:

$$c = 4\pi \frac{A}{P^2}$$

- Pentru o formă circulară,  $c=1$ . Orice altă formă va avea  $c < 1$ .
- Proprietăți topologice
  - Numărul de găuri (zone de tip fundal înconjurate de puncte de tip obiect)
  - Numărul lui Euler: numărul regiunilor conexe din care se scade numărul de găuri